

**Fig. 1**  
(PRIOR ART)

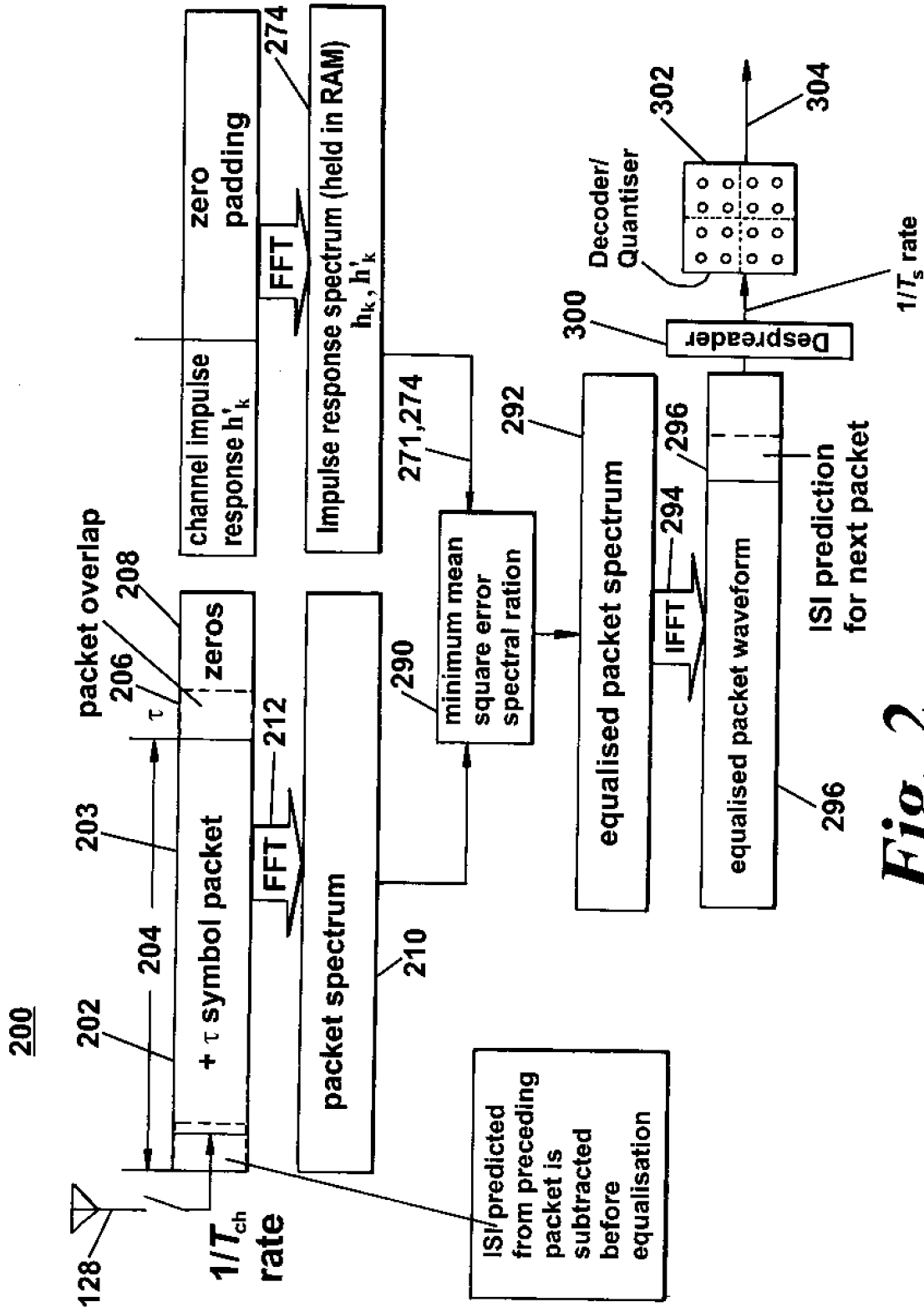
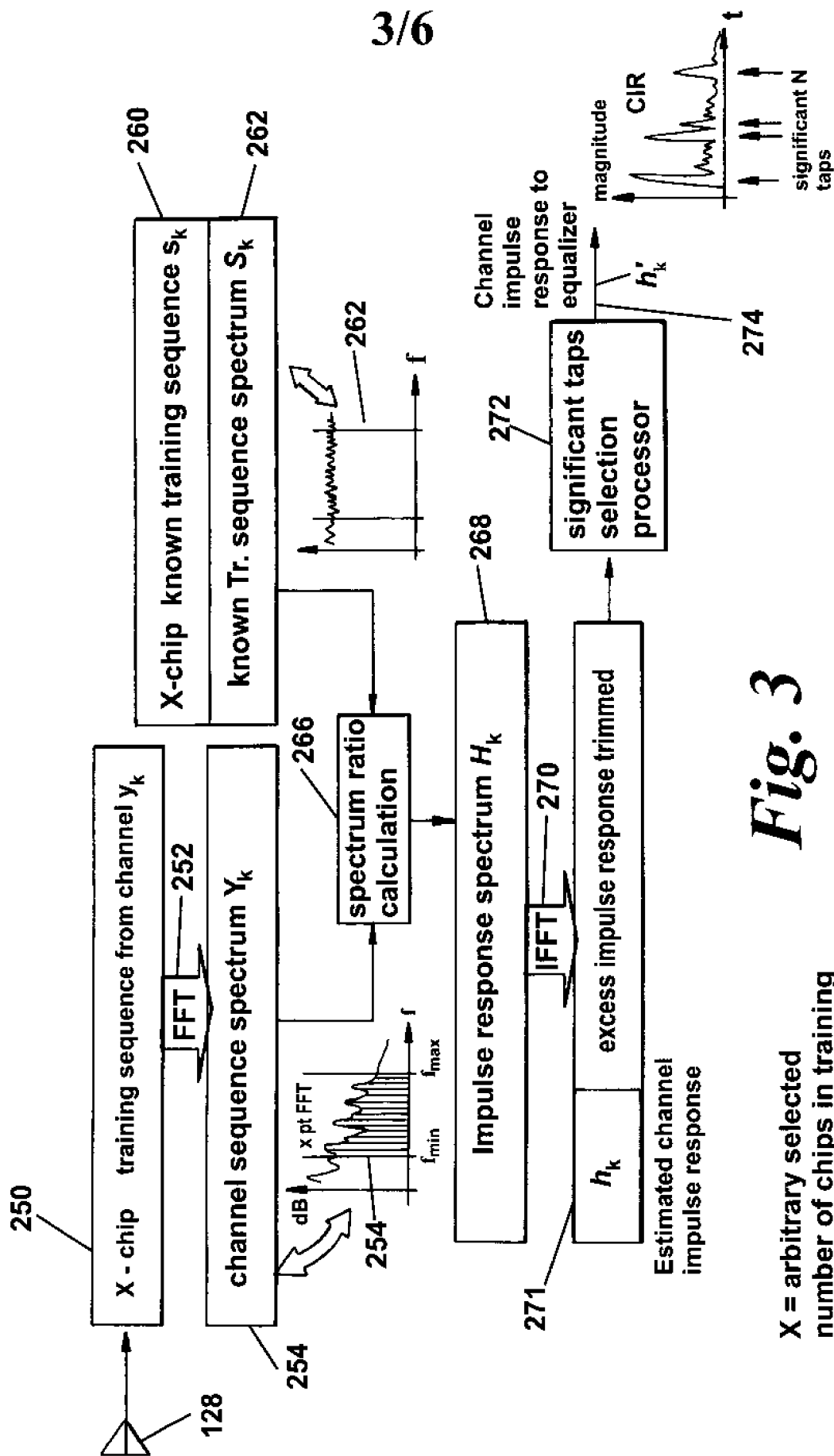


Fig. 2



**Fig. 3**

X = arbitrary selected number of chips in training sequence set by system standard

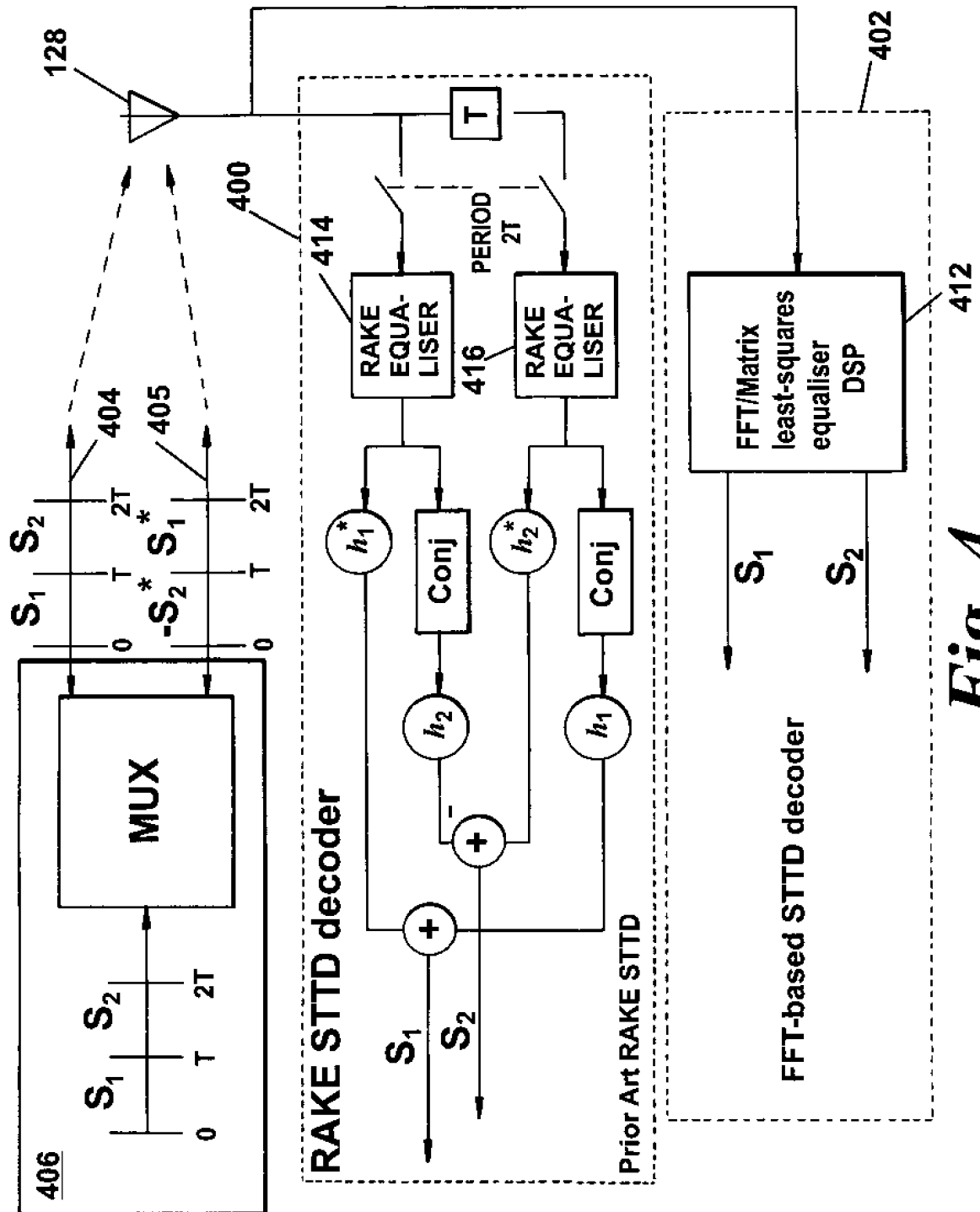
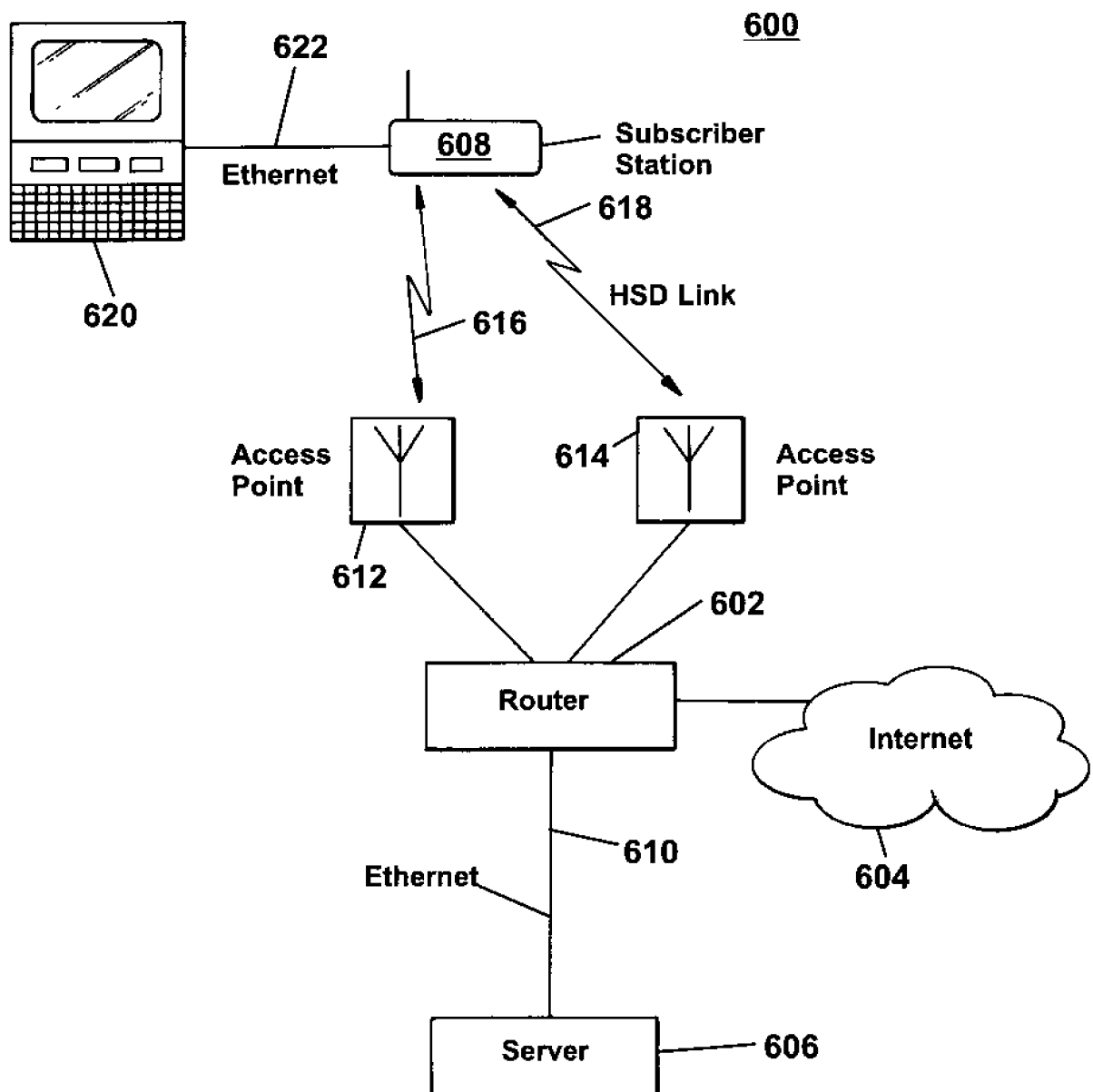


Fig. 4

$h_1'(0) + 0$	$0 - h_2'(0)$	$-h_1'(0) + 0$	$0 - h_2'(0)$	0	....
$h_1'(1) + h_2'(0)$	$h_1'(0) - h_2'(1)$	$-h_1'(1) + h_2'(0)$	$-h_1'(0) - h_2'(1)$	0	....
$h_1'(0) + 0$	$0 - h_2'(0)$	$h_1'(0) - 0$	$0 + h_2'(0)$	0	....
$h_1'(1) + h_2'(0)$	$h_1'(0) - h_2'(1)$	$h_1'(1) - h_2'(0)$	$h_1'(0) + h_2'(1)$	0	....
$h_1'(2) + h_2'(1)$	$h_1'(1) - h_2'(2)$	$-h_1'(2) + h_2'(1)$	$-h_1'(1) - h_2'(2)$	0	....
$h_1'(3) + h_2'(2)$	$h_1'(2) - h_2'(3)$	$-h_1'(3) + h_2'(2)$	$-h_1'(2) - h_2'(3)$	0	....
$h_1'(2) + h_2'(1)$	$h_1'(1) - h_2'(2)$	$h_1'(2) - h_2'(1)$	$h_1'(1) + h_2'(2)$	0	....
$h_1'(3) + h_2'(2)$	$h_1'(2) - h_2'(3)$	$h_1'(3) - h_2'(2)$	$h_1'(2) + h_2'(3)$	0	....
$h_1'(4) + h_2'(3)$	$h_1'(3) - h_2'(4)$	$-h_1'(4) + h_2'(3)$	$-h_1'(3) - h_2'(4)$	0	....
$h_1'(5) + h_2'(4)$	$h_1'(4) - h_2'(5)$	$-h_1'(5) + h_2'(4)$	$-h_1'(4) - h_2'(5)$	0	....
$h_1'(4) + h_2'(3)$	$h_1'(3) - h_2'(4)$	$h_1'(4) - h_2'(3)$	$h_1'(3) + h_2'(4)$	0	....
$h_1'(5) + h_2'(4)$	$h_1'(4) - h_2'(5)$	$h_1'(5) - h_2'(4)$	$h_1'(4) + h_2'(5)$	0	....
....	....	....	....	....	....

Layout of channel impulse responses in  $\tilde{\mathbf{c}}$ *Fig. 5*

*Fig. 6*